

Stage M2

CEA Saclay

LP semi
implicite
pour Euler
Au niveau
continu
Schéma
numérique
Propriétés
Résultats

LP semi
implicite
pour Baer
Nunziato

Le modèle
Au niveau
continu
Schéma
numérique
Propriétés
Résultats

Méthodes numériques pour les écoulements diphasiques de type Baer Nunziato

Nicole Spillane

Maîtres de stage : Christophe Chalons, Frédéric Coquel,
Samuel Kokh

CEA Saclay

19 octobre 2010

Objectifs

Stage M2

CEA Saclay

LP semi
implicite
pour Euler

Au niveau
continu

Schéma
numérique
Propriétés
Résultats

LP semi
implicite
pour Baer
Nunziato

Le modèle
Au niveau
continu

Schéma
numérique
Propriétés
Résultats

- Comprendre et implémenter les travaux de F. Coquel, Q.L. Nguyen, M. Postel et Q.H. Tran. Entropy satisfying relaxation method with large time-steps for Euler IBVP's. *Math. Comp*, 79 :1493-1533, 2010, sur la semi implicitation d'un schéma Lagrange Projection pour les équations d'Euler dans un cadre subsonique,
- Etendre au cas des schémas diphasiques de type Baer Nunziato : s'efforcer de retrouver les mêmes avantages, en particulier la CFL matière.

1 LP semi implicite pour Euler

- Au niveau continu
- Schéma numérique
- Propriétés
- Résultats

2 LP semi implicite pour Baer Nunziato

- Le modèle
- Au niveau continu
- Schéma numérique
- Propriétés
- Résultats

Notations

Variables :

$$\begin{aligned} \rho &: \text{densité,} & u &: \text{vitesse,} \\ E &: \text{énergie totale,} & e &= E - \frac{u^2}{2} \text{ énergie interne,} \\ p &= p(\rho, e) : \text{pression,} & \pi &: \text{pression relaxée,} \\ c &: \text{vitesse du son.} \end{aligned}$$

Vecteurs d'état (variables conservatives, lagrangiennes, et symétriques) :

$$\mathbb{U} = \begin{pmatrix} \rho \\ \rho u \\ \rho E \end{pmatrix}; \mathbb{V} = \begin{pmatrix} \tau = \frac{1}{\rho} \\ u \\ E \end{pmatrix}; \mathbb{W} = \begin{pmatrix} \pi + au \\ \pi - au \\ \pi + a^2 \tau \\ E \end{pmatrix},$$

où

$a = \max_{t,x}(\rho c)$: coefficient dans la relaxation.

Lagrange projection vu comme un splitting d'opérateur

Stage M2

CEA Saclay

LP semi
implicite
pour Euler

**Au niveau
continu**

Schéma
numérique
Propriétés
Résultats

LP semi
implicite
pour Baer
Nunziato

Le modèle
**Au niveau
continu**
Schéma
numérique
Propriétés
Résultats

$$\begin{aligned}\partial_t \rho + \partial_x(\rho u) &= 0, \\ \partial_t(\rho u) + \partial_x(\rho u^2 + p) &= 0, \\ \partial_t(\rho E) + \partial_x(u(\rho E + p)) &= 0,\end{aligned}$$

Lagrange projection vu comme un splitting d'opérateur

Stage M2

CEA Saclay

LP semi
implicite
pour Euler

**Au niveau
continu**

Schéma
numérique
Propriétés
Résultats

LP semi
implicite
pour Baer
Nunziato

Le modèle
**Au niveau
continu**

Schéma
numérique
Propriétés
Résultats

$$\partial_t \rho + \partial_x(\rho u) = 0,$$

$$\partial_t(\rho u) + \partial_x(\rho u^2 + p) = 0,$$

$$\partial_t(\rho E) + \partial_x(u(\rho E + p)) = 0,$$

ou en développant

$$\partial_t \rho + u \partial_x \rho + \rho \partial_x u = 0,$$

$$\partial_t(\rho u) + u \partial_x(\rho u) + \rho u \partial_x u + \partial_x p = 0,$$

$$\partial_t(\rho E) + u \partial_x(\rho E) + \rho E \partial_x u + \partial_x(u p) = 0.$$

Lagrange projection vu comme un splitting d'opérateur

Stage M2

CEA Saclay

LP semi
implicite
pour Euler

Au niveau
continu

Schéma
numérique
Propriétés
Résultats

LP semi
implicite
pour Baer
Nunziato

Le modèle
Au niveau
continu

Schéma
numérique
Propriétés
Résultats

$$\partial_t \rho + \partial_x(\rho u) = 0,$$

$$\partial_t(\rho u) + \partial_x(\rho u^2 + p) = 0,$$

$$\partial_t(\rho E) + \partial_x(u(\rho E + p)) = 0,$$

ou en développant

$$\partial_t \rho + u \partial_x \rho + \rho \partial_x u = 0,$$

$$\partial_t(\rho u) + u \partial_x(\rho u) + \rho u \partial_x u + \partial_x p = 0,$$

$$\partial_t(\rho E) + u \partial_x(\rho E) + \rho E \partial_x u + \partial_x(u p) = 0.$$

que l'on "splitte" en

LAGRANGE

$$\partial_t \rho + \rho \partial_x u = 0,$$

$$\partial_t(\rho u) + \rho u \partial_x u + \partial_x p = 0,$$

$$\partial_t(\rho E) + \rho E \partial_x u + \partial_x(u p) = 0.$$

PROJECTION

$$\partial_t \rho + u \partial_x \rho = 0,$$

$$\partial_t(\rho u) + u \partial_x(\rho u) = 0,$$

$$\partial_t(\rho E) + u \partial_x(\rho E) = 0.$$

Opérations sur la phase lagrangienne (1/2)

Stage M2

CEA Saclay

LP semi
implicite
pour Euler

**Au niveau
continu**

Schéma
numérique
Propriétés
Résultats

LP semi
implicite
pour Baer
Nunziato

Le modèle
Au niveau
continu

Schéma
numérique
Propriétés
Résultats

Changement de variables $\mathbb{U} \rightarrow \mathbb{V}$:

$$\begin{aligned} \partial_t \rho + \rho \partial_x u &= 0, & \partial_t \tau - \tau \partial_x u &= 0, \\ \partial_t(\rho u) + \rho u \partial_x u + \partial_x p &= 0, & \partial_t u + \tau \partial_x p &= 0, \\ \partial_t(\rho E) + \rho E \partial_x u + \partial_x(pu) &= 0. & \partial_t E + \tau \partial_x(pu) &= 0. \end{aligned} \Leftrightarrow$$

avec

$$\tau = \frac{1}{\rho}$$

Opérations sur la phase lagrangienne (2/2)

Approximation : Relaxation à chaque itération

$$\partial_t \tau - \tau \partial_x u = 0, \quad (1a)$$

$$\partial_t u + \tau \partial_x \pi = 0, \quad (1b)$$

$$\partial_t E + \tau \partial_x (\pi u) = 0, \quad (1c)$$

$$\partial_t \pi + a^2 \tau \partial_x u = 0. \quad (1d)$$

où a vérifie $a > \rho c$. Ici

$$a = \max_{x \in \mathbb{R}, t \in [0, +\infty[} \{\rho(x, t)c(x, t)\}.$$

Stage M2

CEA Saclay

LP semi
implicite
pour Euler

Au niveau
continu

Schéma
numérique
Propriétés
Résultats

LP semi
implicite
pour Baer
Nunziato

Le modèle
Au niveau
continu
Schéma
numérique
Propriétés
Résultats

Opérations sur la phase lagrangienne (2/2)

Approximation : Relaxation à chaque itération

$$\partial_t \tau - \tau \partial_x u = 0, \quad (1a)$$

$$\partial_t u + \tau \partial_x \pi = 0, \quad (1b)$$

$$\partial_t E + \tau \partial_x (\pi u) = 0, \quad (1c)$$

$$\partial_t \pi + a^2 \tau \partial_x u = 0. \quad (1d)$$

où a vérifie $a > \rho c$. Ici

$$a = \max_{x \in \mathbb{R}, t \in [0, +\infty[} \{ \rho(x, t) c(x, t) \}.$$

Changement de variable $\mathbb{V} \rightarrow \mathbb{W}$

$$\partial_t (\pi + au) + a\tau \partial_x (\pi + au) = 0, \quad (1d) + a(1b)$$

$$\partial_t (\pi - au) - a\tau \partial_x (\pi - au) = 0, \quad (1d) - a(1b)$$

$$\partial_t (\pi + a^2 \tau) = 0, \quad (1d) + a^2(1a)$$

$$\partial_t E + \tau \partial_x (\pi u) = 0. \quad (1c)$$

Système à discrétiser

Stage M2

CEA Saclay

LP semi
implicite
pour Euler

**Au niveau
continu**

Schéma
numérique
Propriétés
Résultats

LP semi
implicite
pour Baer
Nunziato

Le modèle
Au niveau
continu

Schéma
numérique
Propriétés
Résultats

Phase lagrangienne

$$\partial_t(\overrightarrow{W}) + a\tau\partial_x(\overrightarrow{W}) = 0,$$

$$\partial_t(\overleftarrow{W}) - a\tau\partial_x(\overleftarrow{W}) = 0,$$

$$\partial_t(I) = 0,$$

$$\partial_t E + \tau\partial_x(\pi u) = 0.$$

Notations

$$\overrightarrow{W} = \pi + au,$$

$$\overleftarrow{W} = \pi - au,$$

$$I = \pi + a^2\tau.$$

Phase de projection

$$\partial_t\rho + u\partial_x\rho = 0,$$

$$\partial_t(\rho u) + u\partial_x(\rho u) = 0,$$

$$\partial_t(\rho E) + u\partial_x(\rho E) = 0.$$

Notations

Stage M2

CEA Saclay

LP semi
implicite
pour Euler

Au niveau
continu

**Schéma
numérique**

Propriétés
Résultats

LP semi
implicite
pour Baer
Nunziato

Le modèle
Au niveau
continu

**Schéma
numérique**

Propriétés
Résultats

$$\Omega = [0, L] \subset \mathbb{R},$$

avec conditions aux limites de Neumann au bord du domaine.
On se donne un maillage de Ω régulier à N mailles de taille Δx
indexées par j tel que $1 \leq j \leq N$.

$$x_j = \frac{2j-1}{2N}L \text{ et } x_{j+1/2} = \frac{j}{N}L.$$

$$Z_j^n \approx Z(t^n, x_j).$$

$$\Delta m_j = \rho_j \Delta x.$$

Z^n

↓

phase lagrangienne

$Z^{n\#}$

↓

phase projection

Z^{n+1}

Etape lagrangienne

$$\vec{W}_j^{n\sharp} = \vec{W}_j^n - a_j \frac{\Delta t}{\Delta m_j} [\vec{W}_j^{n\sharp} - \vec{W}_{j-1}^{n\sharp}],$$

$$\overleftarrow{W}_j^{n\sharp} = \overleftarrow{W}_j^n + a_j \frac{\Delta t}{\Delta m_j} [\overleftarrow{W}_{j+1}^{n\sharp} - \overleftarrow{W}_j^{n\sharp}],$$

$$I_j^{n\sharp} = I_j^n,$$

$$\pi_{j+1/2}^{*n\sharp} = \frac{\vec{W}_j^{n\sharp} + \overleftarrow{W}_{j+1}^{n\sharp}}{2},$$

$$u_{j+1/2}^{*n\sharp} = \frac{\vec{W}_j^{n\sharp} - \overleftarrow{W}_{j+1}^{n\sharp}}{2a_{j+1/2}},$$

$$E_j^{n\sharp} = E_j^n - \frac{\Delta t}{\Delta m_j} [(\pi^* u^*)_{j+1/2}^{n\sharp} - (\pi^* u^*)_{j-1/2}^{n\sharp}].$$

Résolution discrète (1/2) $\mathbb{W}^n \rightarrow \mathbb{U}^{n\sharp}$

Etape lagrangienne

$$\vec{W}_j^{n\sharp} = \vec{W}_j^n - a_j \frac{\Delta t}{\Delta m_j} [\vec{W}_j^{n\sharp} - \vec{W}_{j-1}^{n\sharp}],$$

$$\overleftarrow{W}_j^{n\sharp} = \overleftarrow{W}_j^n + a_j \frac{\Delta t}{\Delta m_j} [\overleftarrow{W}_{j+1}^{n\sharp} - \overleftarrow{W}_j^{n\sharp}],$$

$$I_j^{n\sharp} = I_j^n,$$

$$\pi_{j+1/2}^{*n\sharp} = \frac{\vec{W}_j^{n\sharp} + \overleftarrow{W}_{j+1}^{n\sharp}}{2},$$

$$u_{j+1/2}^{*n\sharp} = \frac{\vec{W}_j^{n\sharp} - \overleftarrow{W}_{j+1}^{n\sharp}}{2a_{j+1/2}},$$

$$E_j^{n\sharp} = E_j^n - \frac{\Delta t}{\Delta m_j} [(\pi^* u^*)_{j+1/2}^{n\sharp} - (\pi^* u^*)_{j-1/2}^{n\sharp}].$$

Changement de variable

$$\mathbb{U}_j^{n\sharp} = \mathbb{U}(\mathbb{W}_j^{n\sharp}).$$

Stage M2

CEA Saclay

LP semi
implicite
pour Euler

Au niveau
continu

**Schéma
numérique**

Propriétés
Résultats

LP semi
implicite
pour Baer
Nunziato

Le modèle
Au niveau
continu

**Schéma
numérique**

Propriétés
Résultats

Résolution discrète (2/2) $\mathbb{U}^{n\#} \rightarrow \mathbb{W}^{n+1}$

Stage M2

CEA Saclay

Etape projection

$$\mathbb{U}_j^{n+1} = \mathbb{U}_j^{n\#} + \frac{\Delta t}{\Delta X} \left\{ (u_{j-1/2}^{*n\#})^+ \mathbb{U}_{j-1}^{n\#} + \right. \\ \left. + [(u_{j+1/2}^{*n\#})^- - (u_{j-1/2}^{*n\#})^+] \mathbb{U}_j^{n\#} - (u_{j+1/2}^{*n\#})^- \mathbb{U}_{j+1}^{n\#} \right\}.$$

Notations

$$(X)^+ = X \text{ si } X > 0; 0 \text{ sinon.}$$

$$(X)^- = X \text{ si } X < 0; 0 \text{ sinon.}$$

LP semi
implicite
pour Euler

Au niveau
continu

**Schéma
numérique**

Propriétés

Résultats

LP semi
implicite
pour Baer
Nunziato

Le modèle

Au niveau
continu

**Schéma
numérique**

Propriétés

Résultats

Résolution discrète (2/2) $\mathbb{U}^{n\#} \rightarrow \mathbb{W}^{n+1}$

Stage M2

CEA Saclay

LP semi
implicite
pour Euler

Au niveau
continu

**Schéma
numérique**

Propriétés

Résultats

LP semi
implicite
pour Baer
Nunziato

Le modèle

Au niveau
continu

**Schéma
numérique**

Propriétés

Résultats

Etape projection

$$\begin{aligned} \mathbb{U}_j^{n+1} = & \mathbb{U}_j^{n\#} + \frac{\Delta t}{\Delta X} \{ (u_{j-1/2}^{*n\#})^+ \mathbb{U}_{j-1}^{n\#} + \\ & + [(u_{j+1/2}^{*n\#})^- - (u_{j-1/2}^{*n\#})^+] \mathbb{U}_j^{n\#} - (u_{j+1/2}^{*n\#})^- \mathbb{U}_{j+1}^{n\#} \}. \end{aligned}$$

Notations

$$(X)^+ = X \text{ si } X > 0; 0 \text{ sinon.}$$

$$(X)^- = X \text{ si } X < 0; 0 \text{ sinon.}$$

Projection pour la relaxation et changement de variables

$$\begin{aligned} \pi_j^{n+1} &= \rho(\mathbb{U}_j^{n+1}), \\ \mathbb{W}_j^{n+1} &= \mathbb{W}(\mathbb{U}_j^{n+1}, \pi_j^{n+1}). \end{aligned}$$

Existence d'une forme localement conservative

Stage M2

CEA Saclay

LP semi
implicite
pour Euler

Au niveau
continu

Schéma
numérique

Propriétés

Résultats

LP semi
implicite
pour Baer
Nunziato

Le modèle

Au niveau
continu

Schéma
numérique

Propriétés

Résultats

Le schéma peut s'écrire sous forme localement conservative :

$$\frac{U_j^{n+1} - U_j^n}{\Delta t} + \frac{G_{j+1/2}^{n\#} - G_{j-1/2}^{n\#}}{\Delta x} = 0,$$

où

$$G_{j+1/2}^{n\#} = (u_{j+1/2}^{*n\#})^+ U_j^{n\#} + (u_{j+1/2}^{*n\#})^- U_{j+1}^{n\#} + B_{j+1/2}^{n\#},$$

et

$$B_{j+1/2}^{n\#} = \begin{pmatrix} 0 \\ \pi_{j+1/2}^{*n\#} \\ \pi_{j+1/2}^{*n\#} u_{j+1/2}^{*n\#} \end{pmatrix}.$$

Théorème

Sous condition CFL

$$\frac{\Delta t}{\Delta x} < \frac{2a}{\max_{1 \leq j \leq N} \left\{ (\overrightarrow{M}_{j-1}^n - \overleftarrow{m}_j^n)^+ - (\overrightarrow{m}_j^n - \overleftarrow{M}_{j+1}^n)^- \right\}},$$

où \overrightarrow{M} , \overleftarrow{m} , \overleftarrow{M} et \overrightarrow{m} sont définies explicitement au temps n par (2) et ne dépendent pas de Δt , on a

$$\rho_j^{n+1} > 0 \text{ et } e_j^{n+1} > 0.$$

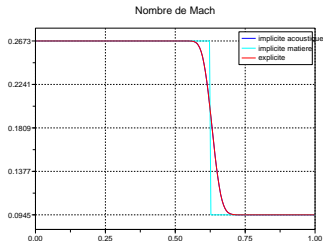
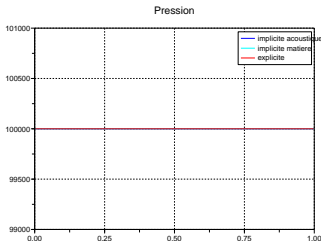
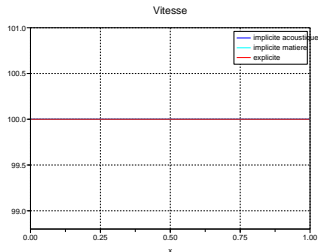
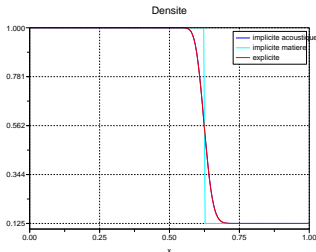
$$\begin{aligned} \overrightarrow{M}_j^n &= \max_{1 \leq k \leq j} \overrightarrow{W}_k^n, & \overrightarrow{m}_j^n &= \min_{1 \leq k \leq j} \overrightarrow{W}_k^n, \\ \overleftarrow{M}_j^n &= \max_{1 \leq k \leq j} \overleftarrow{W}_k^n, & \overleftarrow{m}_j^n &= \min_{1 \leq k \leq j} \overleftarrow{W}_k^n. \end{aligned} \quad (2)$$

Discontinuité de contact

Stage M2

CEA Saclay

- 1: Schema implicite, CFL acoustique avec coef: 1, temps = 0.00125s, n = 774 iterations, dernier pas de temps dt = 0.0000016s, duree du calcul: 59.229s.
 - 2: Schema implicite, CFL matiere avec coef: 1, temps = 0.00125s, n = 26 iterations, dernier pas de temps dt = 0.000005s, duree du calcul: 4.333s.
 - 3: Schema explicite, CFL acoustique avec coef: 1, temps = 0.00125s, n = 774 iterations, dernier pas de temps dt = 0.0000016s, duree du calcul: 31.738s.
- Etat initial: $(\alpha_1L, \rho_1L, u_1L, p_1L) = (0.5, 1, 100, 100000)$, $(\alpha_1R, \rho_1R, u_1R, p_1R) = (0.5, 0.125, 100, 100000)$, $\gamma_1 = 1.4$.



LP semi
implicite
pour Euler

Au niveau
continu
Schéma
numérique
Propriétés
Résultats

LP semi
implicite
pour Baer
Nunziato

Le modèle
Au niveau
continu
Schéma
numérique
Propriétés
Résultats

Tube à choc de Sod

Stage M2

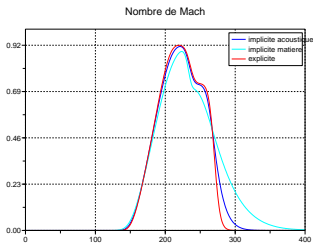
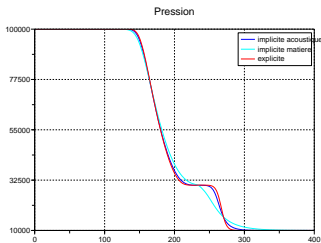
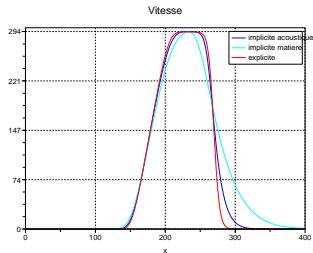
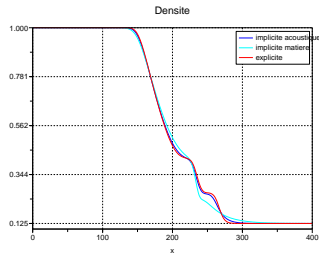
CEA Saclay

LP semi
implicite
pour Euler
Au niveau
continu
Schéma
numérique
Propriétés
Résultats

LP semi
implicite
pour Baer
Nunziato

Le modèle
Au niveau
continu
Schéma
numérique
Propriétés
Résultats

- 1: Schema implicite, CFL acoustique avec coef: 1, temps = 0.0003s, n = 360 iterations, dernier pas de temps dt = 0.0000008s, duree du calcul: 58.019s.
 - 2: Schema implicite, CFL matiere avec coef: 1, temps = 0.0003s, n = 72 iterations, dernier pas de temps dt = 0.0000042s, duree du calcul: 15.624s.
 - 3: Schema explicite, CFL acoustique avec coef: 1, temps = 0.0003s, n = 360 iterations, dernier pas de temps dt = 0.0000008s, duree du calcul: 33.959s.
- Etat initial: (alpha1L, rho1L, u1L, p1L) = (0.5, 1, 0, 100000), (alpha1R, rho1R, u1R, p1R) = (0.5, 0.125, 0, 10000), gamma1 = 1.4.

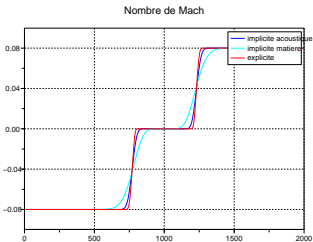
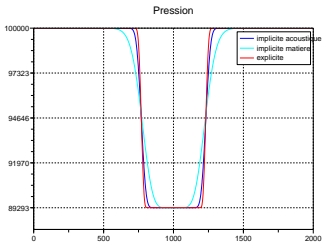
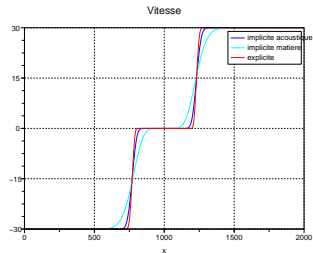
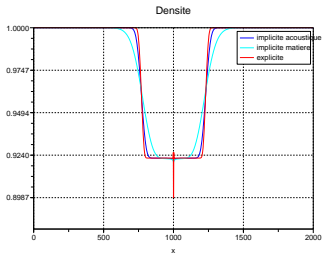


Double raréfaction

Stage M2

CEA Saclay

- 1: Schema implicite, CFL acoustique avec coef: 1, temps = 0.0003s, n = 244 iterations, dernier pas de temps dt = 0.0000012s, duree du calcul: 193.098s.
 - 2: Schema implicite, CFL matiere avec coef: 1, temps = 0.0003s, n = 19 iterations, dernier pas de temps dt = 0.0000167s, duree du calcul: 59.451s.
 - 3: Schema explicite, CFL acoustique avec coef: 1, temps = 0.0003s, n = 250 iterations, dernier pas de temps dt = 0.0000012s, duree du calcul: 82.129s.
- Etat initial: (alpha1L, rho1L, u1L, p1L) = (0.5, 1, -30, 100000), (alpha1R, rho1R, u1R, p1R) = (0.5, 1, 30, 100000), gamma1 = 1.4,



LP semi
implicite
pour Euler

Au niveau
continu
Schéma
numérique
Propriétés
Résultats

LP semi
implicite
pour Baer
Nunziato

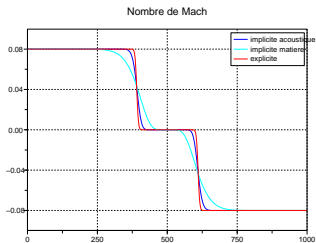
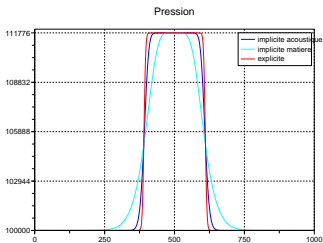
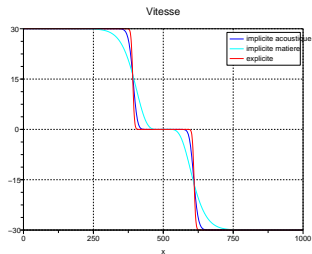
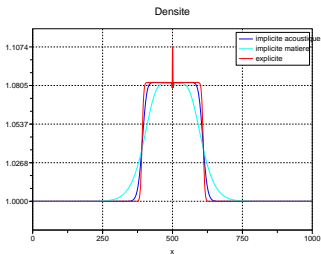
Le modèle
Au niveau
continu
Schéma
numérique
Propriétés
Résultats

Double choc 1

Stage M2

CEA Saclay

- 1: Schema implicite, CFL acoustique avec coef: 1, temps = 0.0003s, n = 133 iterations, dernier pas de temps dt = 0.0000023s, duree du calcul: 47.915s.
 - 2: Schema implicite, CFL matiere avec coef: 1, temps = 0.0003s, n = 10 iterations, dernier pas de temps dt = 0.0000333s, duree du calcul: 10.145s.
 - 3: Schema explicite, CFL acoustique avec coef: 1, temps = 0.0003s, n = 134 iterations, dernier pas de temps dt = 0.0000022s, duree du calcul: 20.491s.
- Etat initial: (alpha1L, rho1L, u1L, p1L) = (0.5, 1, 30, 100000), (alpha1R, rho1R, u1R, p1R) = (0.5, 1, -30, 100000), gamma1 = 1.4,



LP semi
implicite
pour Euler

Au niveau
continu
Schéma
numérique
Propriétés
Résultats

LP semi
implicite
pour Baer
Nunziato

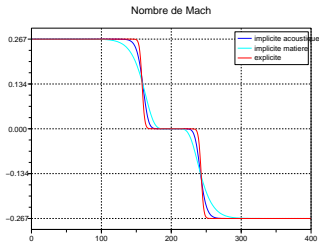
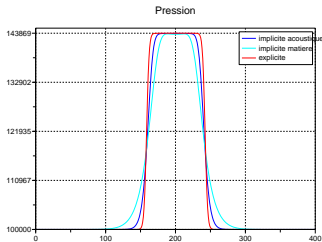
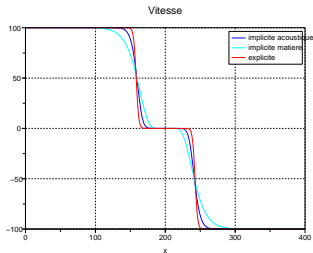
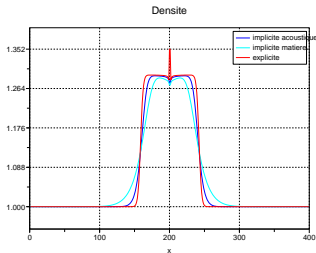
Le modèle
Au niveau
continu
Schéma
numérique
Propriétés
Résultats

Double choc 2

Stage M2

CEA Saclay

- 1: Schema implicite, CFL acoustique avec coef: 1, temps = 0.0003s, n = 73 iterations, dernier pas de temps dt = 0.0000041s, duree du calcul: 12.723s.
 - 2: Schema implicite, CFL matiere avec coef: 1, temps = 0.0003s, n = 13 iterations, dernier pas de temps dt = 0.000025s, duree du calcul: 4.367s.
 - 3: Schema explicite, CFL acoustique avec coef: 1, temps = 0.0003s, n = 75 iterations, dernier pas de temps dt = 0.0000040s, duree du calcul: 7.97s.
- Etat initial: (alpha1L, rho1L, u1L, p1L) = (0.5, 1, 100, 100000), (alpha1R, rho1R, u1R, p1R) = (0.5, 1, -100, 100000), gamma1 = 1.4,



LP semi
implicite
pour Euler

Au niveau
continu
Schéma
numérique
Propriétés
Résultats

LP semi
implicite
pour Baer
Nunziato

Le modèle
Au niveau
continu
Schéma
numérique
Propriétés
Résultats

Système d'équations

Stage M2

CEA Saclay

LP semi
implicite
pour Euler

Au niveau
continu

Schéma
numérique
Propriétés
Résultats

LP semi
implicite
pour Baer
Nunziato

Le modèle

Au niveau
continu

Schéma
numérique
Propriétés
Résultats

$$\partial_t \alpha_1 + u_I \partial_x \alpha_1 = 0,$$

$$\partial_t (\alpha_1 \rho_1) + \partial_x (\alpha_1 \rho_1 u_1) = 0,$$

$$\partial_t (\alpha_1 \rho_1 u_1) + \partial_x (\alpha_1 \rho_1 u_1^2 + \alpha_1 p_1) - p_I \partial_x \alpha_1 = 0,$$

$$\partial_t (\alpha_1 \rho_1 E_1) + \partial_x [(\alpha_1 \rho_1 E_1 + \alpha_1 p_1) u_1] - p_I u_I \partial_x \alpha_1 = 0,$$

$$\partial_t (\alpha_2 \rho_2) + \partial_x (\alpha_2 \rho_2 u_2) = 0,$$

$$\partial_t (\alpha_2 \rho_2 u_2) + \partial_x (\alpha_2 \rho_2 u_2^2 + \alpha_2 p_2) - p_I \partial_x \alpha_2 = 0,$$

$$\partial_t (\alpha_2 \rho_2 E_2) + \partial_x [(\alpha_2 \rho_2 E_2 + \alpha_2 p_2) u_2] - p_I u_I \partial_x \alpha_2 = 0.$$

Dans ce système α_k pour $k = 1, 2$ est la fraction de volume de la phase k . On a de plus des relations de fermeture :

- $\alpha_1 + \alpha_2 = 1$;
- loi d'état dans chaque phase ;
- expression de la vitesse interfaciale u_I ;
- expression de la pression interfaciale p_I .

Définitions

$$u_I = \beta u_1 + (1 - \beta)u_2, \text{ et } p_I = \mu p_1 + (1 - \mu)p_2,$$

où

$$\beta = \frac{\chi \alpha_1 \rho_1}{\chi \alpha_1 \rho_1 + (1 - \chi) \alpha_2 \rho_2},$$

et

$$\mu = \frac{(1 - \beta) T_2}{\beta T_1 + (1 - \beta) T_2}, \chi \in [0, 1],$$

pour assurer l'existence d'une entropie (condition sur p_I) et pour que le champ associé à l'onde u_I soit linéairement dégénéré (condition sur u_I).

Typiquement,

$$\chi = 1 \text{ d'où } \beta = 1, \mu = 0, u_I = u_1 \text{ et } p_I = p_2.$$

Difficultés de résolution et Objectifs

Difficultés supplémentaires pour Baer Nunziato par rapport à Euler

- problème de Riemann compliqué (ondes même pas ordonnées),

Stage M2

CEA Saclay

LP semi
implicite
pour Euler

Au niveau
continu

Schéma
numérique

Propriétés

Résultats

LP semi
implicite
pour Baer
Nunziato

Le modèle

Au niveau
continu

Schéma
numérique

Propriétés

Résultats

Difficultés de résolution et Objectifs

Difficultés supplémentaires pour Baer Nunziato par rapport à Euler

- problème de Riemann compliqué (ondes même pas ordonnées),
- impossible de découpler directement les deux phases à cause des termes en p_I et u_I ,

Stage M2

CEA Saclay

LP semi
implicite
pour Euler

Au niveau
continu

Schéma
numérique

Propriétés

Résultats

LP semi
implicite
pour Baer
Nunziato

Le modèle

Au niveau
continu

Schéma
numérique

Propriétés

Résultats

Difficultés de résolution et Objectifs

Difficultés supplémentaires pour Baer Nunziato par rapport à Euler

- problème de Riemann compliqué (ondes même pas ordonnées),
- impossible de découpler directement les deux phases à cause des termes en p_I et u_I ,
- présence de termes non conservatifs,

Stage M2

CEA Saclay

LP semi
implicite
pour Euler

Au niveau
continu

Schéma
numérique
Propriétés
Résultats

LP semi
implicite
pour Baer
Nunziato

Le modèle

Au niveau
continu

Schéma
numérique
Propriétés
Résultats

Difficultés de résolution et Objectifs

Difficultés supplémentaires pour Baer Nunziato par rapport à Euler

- problème de Riemann compliqué (ondes même pas ordonnées),
- impossible de découpler directement les deux phases à cause des termes en p_I et u_I ,
- présence de termes non conservatifs,
- pas de choix évident pour avoir une vitesse de projection.

Stage M2

CEA Saclay

LP semi
implicite
pour Euler

Au niveau
continu
Schéma
numérique
Propriétés
Résultats

LP semi
implicite
pour Baer
Nunziato

Le modèle
Au niveau
continu
Schéma
numérique
Propriétés
Résultats

Difficultés de résolution et Objectifs

Stage M2

CEA Saclay

LP semi
implicite
pour Euler

Au niveau
continu
Schéma
numérique
Propriétés
Résultats

LP semi
implicite
pour Baer
Nunziato

Le modèle
Au niveau
continu
Schéma
numérique
Propriétés
Résultats

Difficultés supplémentaires pour Baer Nunziato par rapport à Euler

- problème de Riemann compliqué (ondes même pas ordonnées),
- impossible de découpler directement les deux phases à cause des termes en p_I et u_I ,
- présence de termes non conservatifs,
- pas de choix évident pour avoir une vitesse de projection.

Caractéristiques souhaitées pour le schéma numérique

- deux phases découplées et semblables à Euler,

Difficultés de résolution et Objectifs

Stage M2

CEA Saclay

LP semi
implicite
pour Euler

Au niveau
continu
Schéma
numérique
Propriétés
Résultats

LP semi
implicite
pour Baer
Nunziato

Le modèle
Au niveau
continu
Schéma
numérique
Propriétés
Résultats

Difficultés supplémentaires pour Baer Nunziato par rapport à Euler

- problème de Riemann compliqué (ondes même pas ordonnées),
- impossible de découpler directement les deux phases à cause des termes en p_I et u_I ,
- présence de termes non conservatifs,
- pas de choix évident pour avoir une vitesse de projection.

Caractéristiques souhaitées pour le schéma numérique

- deux phases découplées et semblables à Euler,
- semi-implicite (grands pas de temps possibles) en assurant une certaine stabilité,

Difficultés de résolution et Objectifs

Stage M2

CEA Saclay

LP semi
implicite
pour Euler

Au niveau
continu
Schéma
numérique
Propriétés
Résultats

LP semi
implicite
pour Baer
Nunziato

Le modèle
Au niveau
continu
Schéma
numérique
Propriétés
Résultats

Difficultés supplémentaires pour Baer Nunziato par rapport à Euler

- problème de Riemann compliqué (ondes même pas ordonnées),
- impossible de découpler directement les deux phases à cause des termes en p_I et u_I ,
- présence de termes non conservatifs,
- pas de choix évident pour avoir une vitesse de projection.

Caractéristiques souhaitées pour le schéma numérique

- deux phases découplées et semblables à Euler,
- semi-implicite (grands pas de temps possibles) en assurant une certaine stabilité,
- structure conservative des équations conservée pour les variables $\alpha_1 \rho_1$, $\alpha_2 \rho_2$, $\alpha_1 \rho_1 u_1 + \alpha_2 \rho_2 u_2$ et $\alpha_1 \rho_1 E_1 + \alpha_2 \rho_2 E_2$.

$$\partial_t \alpha_1 = 0,$$

$$\partial_t(\alpha_k \rho_k) + \alpha_k \rho_k \partial_x u_k + u_k \partial_x(\alpha_k \rho_k) = 0,$$

$$\begin{aligned} \partial_t(\alpha_k \rho_k u_k) + \alpha_k \rho_k u_k \partial_x u_k + u_k \partial_x(\alpha_k \rho_k u_k) + \\ + \alpha_k \partial_x p_k + p_k \partial_x(\alpha_k) - p_l \partial_x(\alpha_k) = 0, \end{aligned}$$

$$\begin{aligned} \partial_t(\alpha_k \rho_k E_k) + \alpha_k \rho_k E_k \partial_x u_k + u_k \partial_x(\alpha_k \rho_k E_k) + \\ + \alpha_k \partial_x(p_k u_k) + p_k u_k \partial_x(\alpha_k) - p_l u_l \partial_x(\alpha_k) = 0. \end{aligned}$$

$$\partial_t \alpha_1 = 0,$$

$$\partial_t(\alpha_k \rho_k) + \alpha_k \rho_k \partial_x u_k + u_k \partial_x(\alpha_k \rho_k) = 0,$$

$$\begin{aligned} \partial_t(\alpha_k \rho_k u_k) + \alpha_k \rho_k u_k \partial_x u_k + u_k \partial_x(\alpha_k \rho_k u_k) + \\ + \alpha_k \partial_x p_k + p_k \partial_x(\alpha_k) - p_l \partial_x(\alpha_k) = 0, \end{aligned}$$

$$\begin{aligned} \partial_t(\alpha_k \rho_k E_k) + \alpha_k \rho_k E_k \partial_x u_k + u_k \partial_x(\alpha_k \rho_k E_k) + \\ + \alpha_k \partial_x(p_k u_k) + p_k u_k \partial_x(\alpha_k) - p_l u_l \partial_x(\alpha_k) = 0. \end{aligned}$$

Étape de projection

$$\partial_t \alpha_1 = 0,$$

$$\partial_t(\alpha_k \rho_k) + \alpha_k \rho_k \partial_x u_k + u_k \partial_x(\alpha_k \rho_k) = 0,$$

$$\begin{aligned} \partial_t(\alpha_k \rho_k u_k) + \alpha_k \rho_k u_k \partial_x u_k + u_k \partial_x(\alpha_k \rho_k u_k) + \\ + \alpha_k \partial_x p_k + p_k \partial_x(\alpha_k) - p_l \partial_x(\alpha_k) = 0, \end{aligned}$$

$$\begin{aligned} \partial_t(\alpha_k \rho_k E_k) + \alpha_k \rho_k E_k \partial_x u_k + u_k \partial_x(\alpha_k \rho_k E_k) + \\ + \alpha_k \partial_x(p_k u_k) + p_k u_k \partial_x(\alpha_k) - p_l u_l \partial_x(\alpha_k) = 0. \end{aligned}$$

Étape de projection

Étape lagrangienne

$$\partial_t \alpha_1 = 0,$$

$$\partial_t(\alpha_k \rho_k) + \alpha_k \rho_k \partial_x u_k + u_k \partial_x(\alpha_k \rho_k) = 0,$$

$$\begin{aligned} \partial_t(\alpha_k \rho_k u_k) + \alpha_k \rho_k u_k \partial_x u_k + u_k \partial_x(\alpha_k \rho_k u_k) + \\ + \alpha_k \partial_x p_k + p_k \partial_x(\alpha_k) - p_l \partial_x(\alpha_k) = 0, \end{aligned}$$

$$\begin{aligned} \partial_t(\alpha_k \rho_k E_k) + \alpha_k \rho_k E_k \partial_x u_k + u_k \partial_x(\alpha_k \rho_k E_k) + \\ + \alpha_k \partial_x(p_k u_k) + p_k u_k \partial_x(\alpha_k) - p_l u_l \partial_x(\alpha_k) = 0. \end{aligned}$$

Étape de projection

Étape lagrangienne

Étape terme source

1) LAGRANGE

$$\partial_t \alpha_1 = 0,$$

$$\partial_t(\alpha_k \rho_k) + \alpha_k \rho_k \partial_x u_k = 0,$$

$$\partial_t(\alpha_k \rho_k u_k) + \alpha_k \rho_k u_k \partial_x u_k + \alpha_k \partial_x p_k = 0,$$

$$\partial_t(\alpha_k \rho_k E_k) + \alpha_k \rho_k E_k \partial_x u_k + \alpha_k \partial_x (p_k u_k) = 0.$$

2) PROJECTION

$$\partial_t \alpha_1 = 0,$$

$$\partial_t(\alpha_k \rho_k) + u_k \partial_x(\alpha_k \rho_k) = 0,$$

$$\partial_t(\alpha_k \rho_k u_k) + u_k \partial_x(\alpha_k \rho_k u_k) = 0,$$

$$\partial_t(\alpha_k \rho_k E_k) + u_k \partial_x(\alpha_k \rho_k E_k) = 0.$$

3) TERME SOURCE

$$\partial_t \alpha_1 = 0,$$

$$\partial_t (\alpha_k \rho_k) = 0,$$

$$\partial_t (\alpha_k \rho_k u_k) + (p_k - p_l) \partial_x (\alpha_k) = 0,$$

$$\partial_t (\alpha_k \rho_k E_k) + (p_k u_k - p_l u_l) \partial_x (\alpha_k) = 0.$$

4) MISE À JOUR DE LA FRACTION DE VOLUME

$$\partial_t \alpha_1 + u_l \partial_x \alpha_1 = 0,$$

$$\partial_t (\alpha_k \rho_k) = 0,$$

$$\partial_t (\alpha_k \rho_k u_k) = 0,$$

$$\partial_t (\alpha_k \rho_k E_k) = 0.$$

Réécriture de la phase lagrangienne

Stage M2

Simplification par α_k :

CEA Saclay

LP semi
implicite
pour Euler

Au niveau
continu
Schéma
numérique
Propriétés
Résultats

LP semi
implicite
pour Baer
Nunziato

Le modèle
**Au niveau
continu**
Schéma
numérique
Propriétés
Résultats

$$\partial_t \alpha_1 = 0,$$

$$\partial_t(\rho_k) + \rho_k \partial_x u_k = 0,$$

$$\partial_t(\rho_k u_k) + \rho_k u_k \partial_x u_k + \partial_x p_k = 0,$$

$$\partial_t(\rho_k E_k) + \rho_k E_k \partial_x u_k + \partial_x(p_k u_k) = 0.$$

Réécriture de la phase lagrangienne

Stage M2

Simplification par α_k :

Premier changement de variables :

$$\partial_t \alpha_1 = 0,$$

$$\partial_t \alpha_1 = 0,$$

$$\partial_t(\rho_k) + \rho_k \partial_x u_k = 0,$$

$$\partial_t \tau_k - \tau_k \partial_x u_k = 0,$$

$$\partial_t(\rho_k u_k) + \rho_k u_k \partial_x u_k + \partial_x p_k = 0,$$

$$\partial_t u_k + \tau_k \partial_x p_k = 0,$$

$$\partial_t(\rho_k E_k) + \rho_k E_k \partial_x u_k + \partial_x(p_k u_k) = 0.$$

$$\partial_t E_k + \tau_k \partial_x(p_k u_k) = 0.$$

CEA Saclay

LP semi
implicite
pour Euler

Au niveau
continu
Schéma
numérique
Propriétés
Résultats

LP semi
implicite
pour Baer
Nunziato

Le modèle
Au niveau
continu
Schéma
numérique
Propriétés
Résultats

Réécriture de la phase lagrangienne

Stage M2

CEA Saclay

LP semi
implicite
pour Euler

Au niveau
continu
Schéma
numérique
Propriétés
Résultats

LP semi
implicite
pour Baer
Nunziato

Le modèle
Au niveau
continu
Schéma
numérique
Propriétés
Résultats

Simplification par α_k :

$$\begin{aligned}\partial_t \alpha_1 &= 0, \\ \partial_t(\rho_k) + \rho_k \partial_x u_k &= 0, \\ \partial_t(\rho_k u_k) + \rho_k u_k \partial_x u_k + \partial_x p_k &= 0, \\ \partial_t(\rho_k E_k) + \rho_k E_k \partial_x u_k + \partial_x(p_k u_k) &= 0.\end{aligned}$$

Relaxation puis deuxième
changement de variables :

$$\begin{aligned}\partial_t \alpha_1 &= 0, \\ \partial_t(\overrightarrow{W}_k) + a_k \tau_k \partial_x(\overrightarrow{W}_k) &= 0, \\ \partial_t(\overleftarrow{W}_k) - a_k \tau_k \partial_x(\overleftarrow{W}_k) &= 0, \\ \partial_t(l_k) &= 0, \\ \partial_t E_k + \tau_k \partial_x(\pi_k u_k) &= 0.\end{aligned}$$

Premier changement de
variables :

$$\begin{aligned}\partial_t \alpha_1 &= 0, \\ \partial_t \tau_k - \tau_k \partial_x u_k &= 0, \\ \partial_t u_k + \tau_k \partial_x p_k &= 0, \\ \partial_t E_k + \tau_k \partial_x(p_k u_k) &= 0.\end{aligned}$$

Notations :

$$\begin{aligned}\overrightarrow{W}_k &= \pi_k + a_k u_k, \\ \overleftarrow{W}_k &= \pi_k - a_k u_k, \\ l_k &= \pi_k + a_k^2 \tau_k.\end{aligned}$$

Notations

Stage M2

CEA Saclay

LP semi
implicite
pour Euler
Au niveau
continu
Schéma
numérique
Propriétés
Résultats

$$\begin{pmatrix} \alpha_k^n \\ (\alpha U)_k^n \\ U_k^n \end{pmatrix} \xrightarrow{\text{Lagrange}} \begin{pmatrix} \alpha_k^n \\ (\alpha U)_k^{n\#} \\ U_k^{n\#} \end{pmatrix} \xrightarrow{\text{Projection}} \begin{pmatrix} \alpha_k^n \\ (\alpha U)_k^{nb} \\ U_k^{nb} \end{pmatrix}$$

LP semi
implicite
pour Baer
Nunziato
Le modèle
Au niveau
continu
Schéma
numérique
Propriétés
Résultats

$$\begin{pmatrix} \alpha_k^n \\ (\alpha U)_k^{nb} \\ U_k^{nb} \end{pmatrix} \xrightarrow{\text{Source}} \begin{pmatrix} \alpha_k^n \\ (\alpha U)_k^{n+1} \\ U_k^{n\ddagger} \end{pmatrix} \xrightarrow{\text{Maj } \alpha_k} \begin{pmatrix} \alpha_k^{n+1} \\ (\alpha U)_k^{n+1} \\ U_k^{n+1} \end{pmatrix}$$

On se limite au cas de conditions aux limites de type Neumann.

Résolution discrète (1/4)

Étape lagrangienne

$$\vec{W}_{kj}^{n\sharp} = \vec{W}_{kj}^n - a_k \frac{\Delta t}{\Delta m k_j} [\vec{W}_{kj}^{n\sharp} - \vec{W}_{kj-1}^{n\sharp}],$$

$$\overleftarrow{W}_{kj}^{n\sharp} = \overleftarrow{W}_{kj}^n + a_k \frac{\Delta t}{\Delta m k_j} [\overleftarrow{W}_{kj+1}^{n\sharp} - \overleftarrow{W}_{kj}^{n\sharp}],$$

$$l_{kj}^{n\sharp} = l_{kj}^n,$$

$$\pi_{kj+1/2}^{*n\sharp} = \frac{\vec{W}_{kj}^{n\sharp} + \overleftarrow{W}_{kj+1}^{n\sharp}}{2},$$

$$u_{kj+1/2}^{*n\sharp} = \frac{\vec{W}_{kj}^{n\sharp} - \overleftarrow{W}_{kj+1}^{n\sharp}}{2a},$$

$$E_{kj}^{n\sharp} = E_{kj}^n - \frac{\Delta t}{\Delta m k_j} [(\pi_k^* u_k^*)_{j+1/2}^{n\sharp} - (\pi_k^* u_k^*)_{j-1/2}^{n\sharp}].$$

Changement de variables $(\alpha U)_{kj}^{n\sharp} = (\alpha U)_k(\alpha_{kj}^n, W_{kj}^{n\sharp})$.

Étape de projection

$$(\alpha U)_{kj}^{nb} = (\alpha U)_{kj}^{n\sharp} + \frac{\Delta t}{\Delta x} \left\{ (u_{kj-1/2}^{*n\sharp})^+ (\alpha U)_{kj-1}^{n\sharp} - (u_{kj+1/2}^{*n\sharp})^- (\alpha U)_{kj+1}^{n\sharp} + [(u_{kj+1/2}^{*n\sharp})^- - (u_{kj-1/2}^{*n\sharp})^+] (\alpha U)_{kj}^{n\sharp} \right\}.$$

Étape terme source

$$\overline{p}_{kj}^{n\sharp} = \pi_{kj-1/2}^*$$

$$\overline{(pu)}_{kj}^{n\sharp} = \pi_{kj-1/2}^* u_{kj-1/2}^*$$

$$\overline{p}_l = \beta \overline{p}_1 + (1 - \beta) \overline{p}_2, \overline{u}_l = \nu \overline{u}_1 + (1 - \nu) \overline{u}_2, \overline{p_l u_l} = \overline{p_l u_l},$$

$$\alpha_{kj+1/2}^n = \alpha_{kj}^n,$$

$$(\alpha u)_{kj}^{n+1} = (\alpha u)_{kj}^{nb} - \frac{\Delta t}{\Delta x} (\overline{p}_{kj}^{n\sharp} - \overline{p}_{lj}^{n\sharp}) (\alpha_{kj+1/2}^n - \alpha_{kj-1/2}^n),$$

$$(\alpha E)_{kj}^{n+1} = (\alpha E)_{kj}^{nb} - \frac{\Delta t}{\Delta x} ((\overline{pu})_{kj}^{n\sharp} - \overline{(pu)}_{lj}^{n\sharp}) (\alpha_{kj+1/2}^n - \alpha_{kj-1/2}^n).$$

Mise à jour de la fraction volumique

$$u_{j+1/2}^{*n\sharp} = \beta u_{1j+1/2}^{*n\sharp} + (1 - \beta) u_{2j+1/2}^{*n\sharp},$$

$$\alpha_{1j}^{n+1} = \alpha_{1j}^n + \frac{\Delta t}{\Delta x} \left\{ (u_{1j-1/2}^{*n\sharp})^+ \alpha_{1j-1}^n - (u_{1j+1/2}^{*n\sharp})^- \alpha_{1j+1}^n \right. \\ \left. + [(u_{1j+1/2}^{*n\sharp})^- - (u_{1j-1/2}^{*n\sharp})^+] \alpha_{1j}^n \right\}$$

$$\alpha_2^{n+1} = 1 - \alpha_1^{n+1}.$$

Mise à jour de la fraction volumique

$$u_{j+1/2}^{*n\sharp} = \beta u_{1j+1/2}^{*n\sharp} + (1 - \beta) u_{2j+1/2}^{*n\sharp},$$

$$\alpha_{1j}^{n+1} = \alpha_{1j}^n + \frac{\Delta t}{\Delta x} \{ (u_{1j-1/2}^{*n\sharp})^+ \alpha_{1j-1}^n - (u_{1j+1/2}^{*n\sharp})^- \alpha_{1j+1}^n \\ + [(u_{1j+1/2}^{*n\sharp})^- - (u_{1j-1/2}^{*n\sharp})^+] \alpha_{1j}^n \}$$

$$\alpha_2^{n+1} = 1 - \alpha_1^{n+1}.$$

Relaxation : $\pi_{kj}^{n+1} = p((\alpha U)_{kj}^{n+1}, \alpha_{kj}^{n+1})$.

Changement de variables :

$$\mathbb{W}_{kj}^{n+1} = \mathbb{W}_k((\alpha U)_{kj}^{n+1}, \alpha_{kj}^{n+1}, \pi_{kj}^{n+1}).$$

Justification de la méthode de discrétisation des termes non conservatifs (1/7)

Stage M2

CEA Saclay

LP semi
implicite
pour Euler
Au niveau
continu
Schéma
numérique
Propriétés
Résultats

LP semi
implicite
pour Baer
Nunziato
Le modèle
Au niveau
continu
Schéma
numérique
Propriétés
Résultats

Objectif :

conserver la structure conservative des équations pour les variables $\alpha_1 \rho_1$, $\alpha_2 \rho_2$, $\alpha_1 \rho_1 u_1 + \alpha_2 \rho_2 u_2$ et $\alpha_1 \rho_1 E_1 + \alpha_2 \rho_2 E_2$.

Rappel : Équations de Baer Nunziato

$$\partial_t \alpha_1 + u_1 \partial_x \alpha_1 = 0,$$

$$\partial_t (\alpha_1 \rho_1) + \partial_x (\alpha_1 \rho_1 u_1) = 0,$$

$$\partial_t (\alpha_1 \rho_1 u_1) + \partial_x (\alpha_1 \rho_1 u_1^2 + \alpha_1 p_1) - p_1 \partial_x \alpha_1 = 0,$$

$$\partial_t (\alpha_1 \rho_1 E_1) + \partial_x [(\alpha_1 \rho_1 E_1 + \alpha_1 p_1) u_1] - p_1 u_1 \partial_x \alpha_1 = 0,$$

$$\partial_t (\alpha_2 \rho_2) + \partial_x (\alpha_2 \rho_2 u_2) = 0,$$

$$\partial_t (\alpha_2 \rho_2 u_2) + \partial_x (\alpha_2 \rho_2 u_2^2 + \alpha_2 p_2) - p_2 \partial_x \alpha_2 = 0,$$

$$\partial_t (\alpha_2 \rho_2 E_2) + \partial_x [(\alpha_2 \rho_2 E_2 + \alpha_2 p_2) u_2] - p_2 u_2 \partial_x \alpha_2 = 0.$$

avec $\alpha_2 = 1 - \alpha_1$.

Justification de la méthode de discrétisation des termes non conservatifs (2/7)

Stage M2

CEA Saclay

LP semi
implicite
pour Euler

Au niveau
continu

Schéma
numérique

Propriétés
Résultats

LP semi
implicite
pour Baer
Nunziato

Le modèle
Au niveau
continu

Schéma
numérique

Propriétés
Résultats

Problème Le schéma numérique pour les phases lagrange suivi de projection ne s'écrit pas sous forme conservative locale. À la place, on a l'écriture :

$$\frac{U_{kj}^{n+1} - U_{kj}^n}{\Delta t} + \frac{G_{kj+1/2}^{n\#} - G_{kj-1/2}^{n\#}}{\Delta x} + \frac{N_{kj}^{n\#}}{\Delta x} = 0,$$

où

$$G_{kj+1/2}^{n\#} = (u_{kj+1/2}^{*n\#})^+ U_{kj}^{n\#} + (u_{kj+1/2}^{*n\#})^- U_{kj+1}^{n\#},$$

et

$$N_{kj}^{n\#} = \begin{pmatrix} 0 \\ \alpha_{kj}^n (\pi_{kj+1/2}^{*n} - \pi_{kj-1/2}^{*n}) \\ \alpha_{kj}^n (\pi_{kj+1/2}^{*n} u_{kj+1/2}^{*n} - \pi_{kj-1/2}^{*n} u_{kj-1/2}^{*n}) \end{pmatrix}.$$

Justification de la méthode de discrétisation des termes non conservatifs (3/7)

Stage M2

CEA Saclay

LP semi
implicite
pour Euler

Au niveau
continu

Schéma
numérique
Propriétés
Résultats

LP semi
implicite
pour Baer
Nunziato

Le modèle
Au niveau
continu

Schéma
numérique
Propriétés
Résultats

Stratégie

Discrétiser l'étape terme source de manière à assurer les bonnes propriétés de conservativité. C'est-à-dire, choisir judicieusement \overline{p}_k , $\overline{(pu)}_k$, \overline{p}_l , $\overline{(pu)}_l$ et $\alpha_{kj+1/2}$.

Rappel : étape de discrétisation des termes sources

$$(\alpha u)_{kj}^{n+1} = (\alpha u)_{kj}^{nb} - \frac{\Delta t}{\Delta x} (\overline{p}_{kj}^{n\sharp} - \overline{p}_{lj}^{n\sharp}) (\alpha_{kj+1/2}^n - \alpha_{kj-1/2}^n),$$

$$(\alpha E)_{kj}^{n+1} = (\alpha E)_{kj}^{nb} - \frac{\Delta t}{\Delta x} (\overline{(pu)}_{kj}^{n\sharp} - \overline{(pu)}_{lj}^{n\sharp}) (\alpha_{kj+1/2}^n - \alpha_{kj-1/2}^n).$$

Justification de la méthode de discrétisation des termes non conservatifs (4/7)

Stage M2

Le schéma global pour les variables conservatives s'écrit :

$$\Delta x \frac{(\alpha U)_{kj}^{n+1} - (\alpha U)_{kj}^{n\sharp}}{\Delta t} = - \left(\begin{array}{c} 0 \\ \alpha_{kj}^n (\pi_{kj+1/2}^{*n\sharp} - \pi_{kj-1/2}^{*n\sharp}) \\ \alpha_{kj}^n (\pi_{kj+1/2}^{*n\sharp} u_{kj+1/2}^{*n\sharp} - \pi_{kj-1/2}^{*n\sharp} u_{kj-1/2}^{*n\sharp}) \end{array} \right) + \left(\begin{array}{c} 0 \\ (\overline{p_k} - \overline{p_l}) (\alpha_{kj+1/2}^n - \alpha_{kj-1/2}^n) \\ (\overline{p_k u_k} - \overline{p_l u_l}) (\alpha_{kj+1/2}^n - \alpha_{kj-1/2}^n) \end{array} \right) - (\mathbb{G}_{kj+1/2}^{n\sharp} - \mathbb{G}_{kj-1/2}^{n\sharp})$$

L'objectif est d'obtenir :

$$\alpha_{kj}^n (\pi_{kj+1/2}^{*n\sharp} - \pi_{kj-1/2}^{*n\sharp}) + \overline{p_k} (\alpha_{kj+1/2}^n - \alpha_{kj-1/2}^n) = (\alpha \pi)_{kj+1/2}^{n\sharp} - (\alpha \pi)_{kj-1/2}^{n\sharp},$$

$$\alpha_{kj}^n (\pi_{kj+1/2}^{*n\sharp} u_{kj+1/2}^{*n\sharp} - \pi_{kj-1/2}^{*n\sharp} u_{kj-1/2}^{*n\sharp}) + \overline{p_k u_k} (\alpha_{kj+1/2}^n - \alpha_{kj-1/2}^n) = (\alpha \pi u)_{kj+1/2}^{n\sharp} - (\alpha \pi u)_{kj-1/2}^{n\sharp}.$$

CEA Saclay

LP semi
implicite
pour Euler

Au niveau
continu
Schéma
numérique
Propriétés
Résultats

LP semi
implicite
pour Baer
Nunziato

Le modèle
Au niveau
continu
Schéma
numérique
Propriétés
Résultats

Justification de la méthode de discrétisation des termes non conservatifs (5/7)

Stage M2

CEA Saclay

LP semi
implicite
pour Euler
Au niveau
continu
Schéma
numérique
Propriétés
Résultats

LP semi
implicite
pour Baer
Nunziato
Le modèle
Au niveau
continu
Schéma
numérique
Propriétés
Résultats

Théorème La formule de Leibniz permet de calculer la variation $\Delta(fg)$ du produit de deux fonctions f et g entre deux "instants" R et L :

$$\Delta(fg) = (fg)_R - (fg)_L = \overrightarrow{f} \Delta g + \overleftarrow{g} \Delta f,$$

où

$$\begin{aligned}\overrightarrow{f} &= \kappa_{RL} f_L + (1 - \kappa_{RL}) f_R, \\ \overleftarrow{g} &= (1 - \kappa_{RL}) g_L + \kappa_{RL} g_R,\end{aligned}$$

ceci étant vrai pour tout $\kappa_{RL} \in [0, 1]$.

Justification de la méthode de discrétisation des termes non conservatifs (6/7)

Cette formule permet d'obtenir les bonnes propriétés de conservativité dès que les relations suivantes entre $\overline{p_k}$, $\overline{p_k u_k}$ et $\alpha_{kj+1/2}$ sont satisfaites pour un certain $\kappa_j \in [0, 1]$:

$$\alpha_{kj}^n = \kappa_j \alpha_{kj+1/2}^n + (1 - \kappa_j) \alpha_{kj-1/2}^n,$$

$$\overline{p_k}_j = (1 - \kappa_j) \pi_{kj+1/2}^{*n\sharp} + \kappa_j \pi_{kj-1/2}^{*n\sharp},$$

$$\overline{p_k u_k}_j = (1 - \kappa_j) \pi_{kj+1/2}^{*n\sharp} u_{kj+1/2}^{*n\sharp} + \kappa_j \pi_{kj-1/2}^{*n\sharp} u_{kj-1/2}^{*n\sharp}.$$

Par exemple, avec $\kappa_j = 1$:

$$\alpha_{kj+1/2}^n = \alpha_{kj}^n,$$

$$\overline{p_k}_j = \pi_{kj-1/2}^{*n\sharp},$$

$$\overline{p_k u_k}_j = \pi_{kj-1/2}^{*n\sharp} u_{kj-1/2}^{*n\sharp}.$$

Stage M2

CEA Saclay

LP semi
implicite
pour Euler

Au niveau
continu

Schéma
numérique

Propriétés
Résultats

LP semi
implicite
pour Baer
Nunziato

Le modèle
Au niveau
continu

Schéma
numérique

Propriétés
Résultats

Justification de la méthode de discrétisation des termes non conservatifs (7/7)

Stage M2

CEA Saclay

LP semi
implicite
pour Euler

Au niveau
continu
Schéma
numérique
Propriétés
Résultats

LP semi
implicite
pour Baer
Nunziato

Le modèle
Au niveau
continu

Schéma
numérique
Propriétés
Résultats

Étape terme source :

$$\overline{p}_{kj}^{n\sharp} = \pi_{kj-1/2}^*$$

$$\overline{(pu)}_{kj}^{n\sharp} = \pi_{kj-1/2}^* u_{kj-1/2}^*$$

$$\overline{p}_l = \beta \overline{p}_1 + (1 - \beta) \overline{p}_2, \overline{u}_l = \nu \overline{u}_1 + (1 - \nu) \overline{u}_2, \overline{p_l u_l} = \overline{p_l u_l},$$

$$\alpha_{kj+1/2}^n = \alpha_{kj}^n,$$

$$(\alpha u)_{kj}^{n+1} = (\alpha u)_{kj}^{nb} - \frac{\Delta t}{\Delta x} (\overline{p}_{kj}^{n\sharp} - \overline{p}_{lj}^{n\sharp}) (\alpha_{kj+1/2}^n - \alpha_{kj-1/2}^n),$$

$$(\alpha E)_{kj}^{n+1} = (\alpha E)_{kj}^{nb} - \frac{\Delta t}{\Delta x} (\overline{(pu)}_{kj}^{n\sharp} - \overline{(pu)}_{lj}^{n\sharp}) (\alpha_{kj+1/2}^n - \alpha_{kj-1/2}^n).$$

Propriétés de l'algorithme

Théorème Supposons que l'on a $0 < \alpha_{1j}^n < 1$, alors, sous condition CFL

$$\frac{\Delta t}{\Delta x} < \frac{2a_k}{\max_{1 \leq j \leq N} \left\{ (\langle \overrightarrow{M} \rangle_{kj-1}^n - \langle \overleftarrow{m} \rangle_{kj}^n)^+ - (\langle \overrightarrow{m} \rangle_{kj}^n - \langle \overleftarrow{M} \rangle_{kj+1}^n)^- \right\}},$$

pour $k = 1$ et $k = 2$;

où $\langle \overrightarrow{M} \rangle_k$, $\langle \overleftarrow{m} \rangle_k$, $\langle \overrightarrow{m} \rangle_k$ et $\langle \overleftarrow{M} \rangle_k$ sont définies explicitement au temps n et ne dépendent pas de Δt , on a

$$0 < \alpha_{1j}^{n+1} < 1 \text{ et } 0 < \alpha_{2j}^{n+1} < 1,$$

et

$$0 < \rho_{1j}^{n+1} \text{ et } 0 < \rho_{2j}^{n+1}.$$

De plus, le schéma peut s'écrire sous forme localement conservative pour les variables : $\alpha_1 \rho_1$, $\alpha_2 \rho_2$, $\alpha_1 \rho_1 u_1 + \alpha_2 \rho_2 u_2$, $\alpha_1 \rho_1 E_1 + \alpha_2 \rho_2 E_2$.

Test 1a - LP explicite, LP implicite, Rusanov pour $n_x = 250$ mailles à $t = 0.025$ s (1/2)

Stage M2

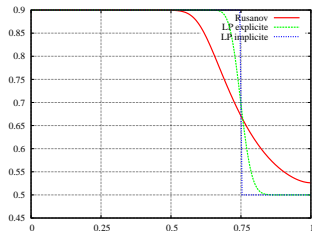
CEA Saclay

LP semi
implicite
pour Euler

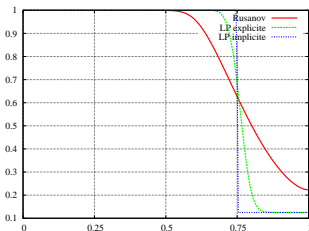
Au niveau
continu
Schéma
numérique
Propriétés
Résultats

LP semi
implicite
pour Baer
Nunziato

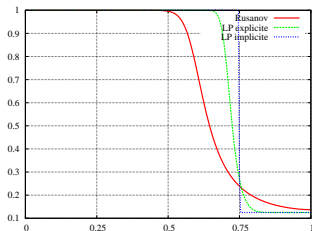
Le modèle
Au niveau
continu
Schéma
numérique
Propriétés
Résultats



α



ρ_1



ρ_2

Test 1a - LP explicite, LP implicite, Rusanov pour $n_x = 250$ mailles à $t = 0.025$ s (2/2)

Stage M2

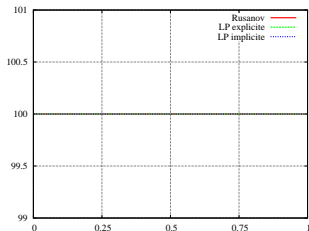
CEA Saclay

LP semi
implicite
pour Euler

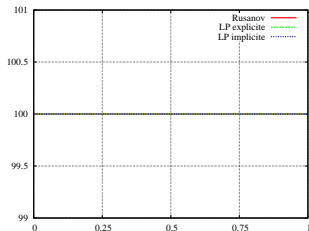
Au niveau
continu
Schéma
numérique
Propriétés
Résultats

LP semi
implicite
pour Baer
Nunziato

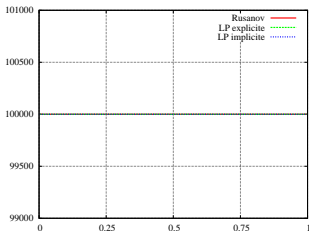
Le modèle
Au niveau
continu
Schéma
numérique
Propriétés
Résultats



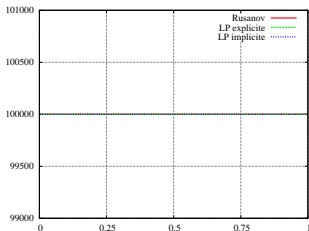
u_1



u_2



p_1



p_2

Test 1a - LP implicite pour différentes tailles de maillages à $t = 0.025$ s (1/2)

Stage M2

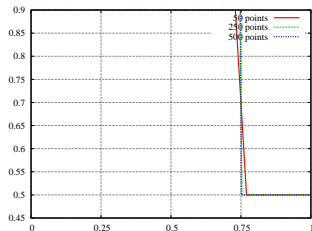
CEA Saclay

LP semi
implicite
pour Euler

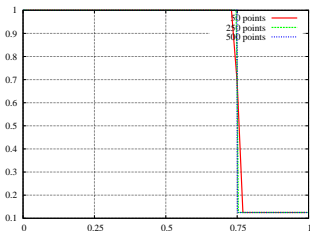
Au niveau
continu
Schéma
numérique
Propriétés
Résultats

LP semi
implicite
pour Baer
Nunziato

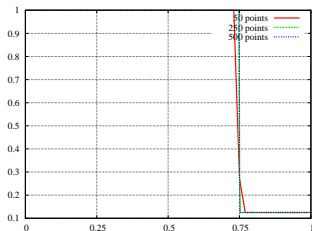
Le modèle
Au niveau
continu
Schéma
numérique
Propriétés
Résultats



α_1



ρ_1



ρ_2

Test 1a - LP implicite pour différentes tailles de maillages à $t = 0.025$ s (2/2)

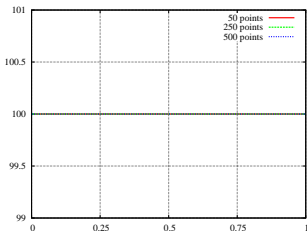
Stage M2

CEA Saclay

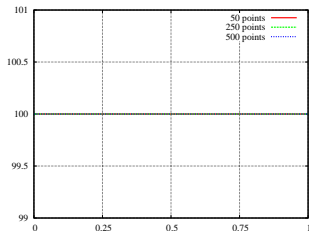
LP semi
implicite
pour Euler
Au niveau
continu
Schéma
numérique
Propriétés
Résultats

LP semi
implicite
pour Baer
Nunziato

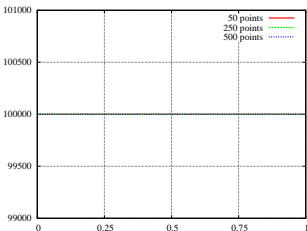
Le modèle
Au niveau
continu
Schéma
numérique
Propriétés
Résultats



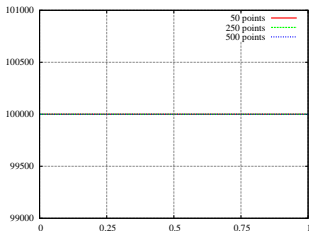
u_1



u_2



p_1



p_2

Test 1a - statistiques

Stage M2

CEA Saclay

LP semi
implicite
pour Euler

Au niveau
continu

Schéma
numérique
Propriétés
Résultats

LP semi
implicite
pour Baer
Nunziato

Le modèle
Au niveau
continu

Schéma
numérique
Propriétés
Résultats

Schéma	Mailles	Itéra°	dt (s)	Calcul (s)
Rusanov	250	4231	0.0000006	172.959
LP explicite	250	4297	0.0000006	818.999
LP implicite	50	13	0.0002	3.248
LP implicite	250	63	0.00004	15.629
LP implicite	500	126	0.00002	67.557

Test 2 - LP implicite pour différentes tailles de maillages à $t = 0.0015$ s (1/2)

Stage M2

CEA Saclay

LP semi
implicite
pour Euler

Au niveau
continu

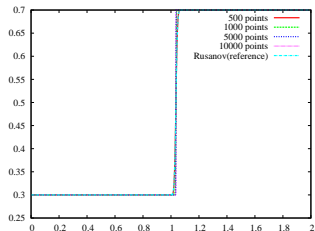
Schéma
numérique
Propriétés
Résultats

LP semi
implicite
pour Baer
Nunziato

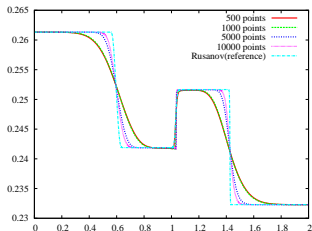
Le modèle
Au niveau
continu

Schéma
numérique
Propriétés
Résultats

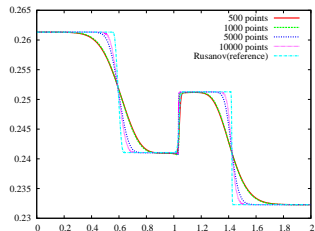
Résultats



α_1



ρ_1



ρ_2

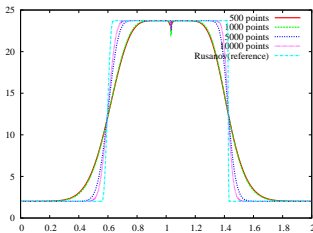
Test 2 - LP implicite pour différentes tailles de maillages à $t = 0.0015$ s (2/2)

Stage M2

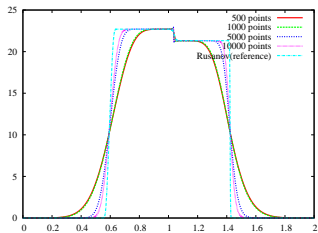
CEA Saclay

LP semi
implicite
pour Euler
Au niveau
continu
Schéma
numérique
Propriétés
Résultats

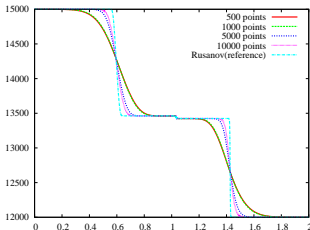
LP semi
implicite
pour Baer
Nunziato
Le modèle
Au niveau
continu
Schéma
numérique
Propriétés
Résultats



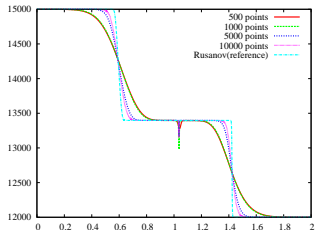
u_1



u_2



p_1



p_2

Test 2 - LP explicite, LP implicite, Rusanov pour $n_x = 500$ mailles à $t = 0.2$ s ($1/4$) : ρ_1

Stage M2

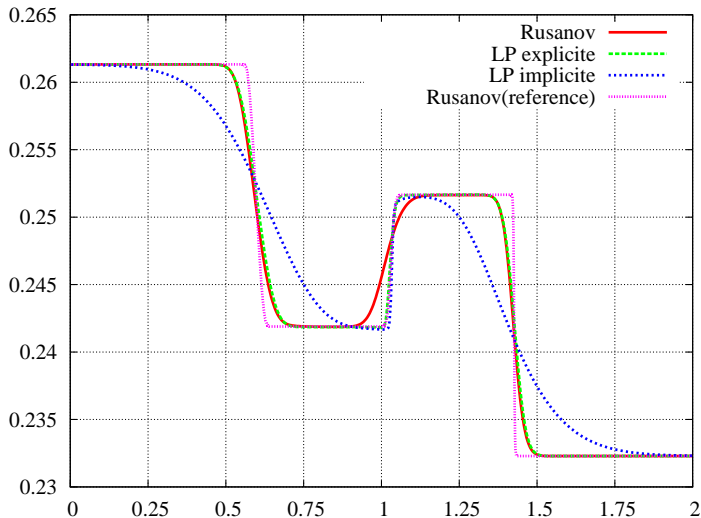
CEA Saclay

LP semi
implicite
pour Euler

Au niveau
continu
Schéma
numérique
Propriétés
Résultats

LP semi
implicite
pour Baer
Nunziato

Le modèle
Au niveau
continu
Schéma
numérique
Propriétés
Résultats



Test 2 - LP explicite, LP implicite, Rusanov pour $n_x = 500$ mailles à $t = 0.2$ s (2/4) : p_2

Stage M2

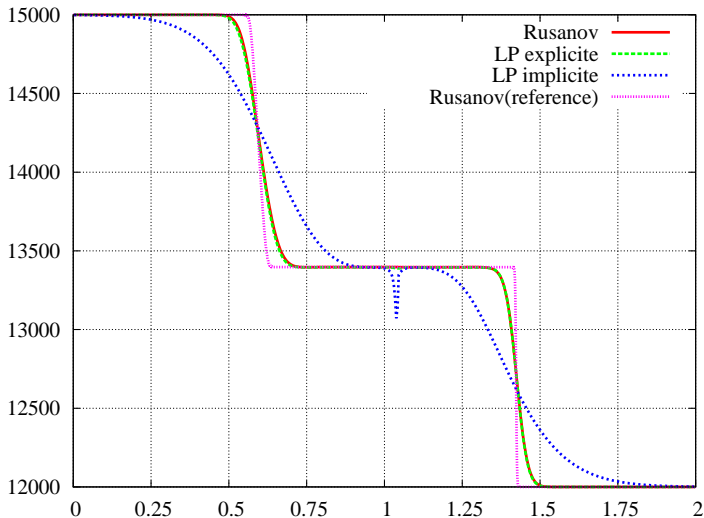
CEA Saclay

LP semi
implicite
pour Euler

Au niveau
continu
Schéma
numérique
Propriétés
Résultats

LP semi
implicite
pour Baer
Nunziato

Le modèle
Au niveau
continu
Schéma
numérique
Propriétés
Résultats



Test 2 - LP explicite, LP implicite, Rusanov pour $n_x = 500$ mailles à $t = 0.2$ s (3/4)

Stage M2

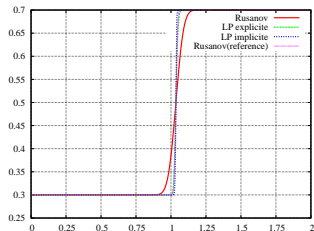
CEA Saclay

LP semi
implicite
pour Euler

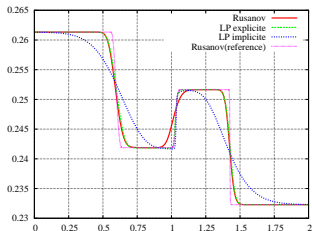
Au niveau
continu
Schéma
numérique
Propriétés
Résultats

LP semi
implicite
pour Baer
Nunziato

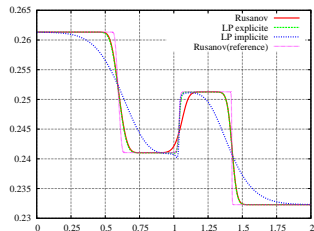
Le modèle
Au niveau
continu
Schéma
numérique
Propriétés
Résultats



α_1



ρ_1



ρ_2

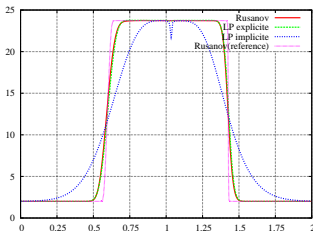
Test 2 - LP explicite, LP implicite, Rusanov pour $nx = 500$ mailles à $t = 0.2$ s (4/4)

Stage M2

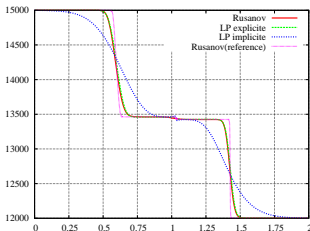
CEA Saclay

LP semi
implicite
pour Euler
Au niveau
continu
Schéma
numérique
Propriétés
Résultats

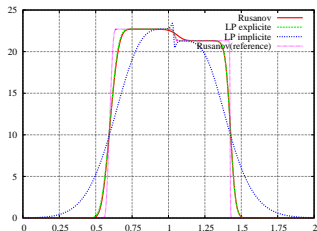
LP semi
implicite
pour Baer
Nunziato
Le modèle
Au niveau
continu
Schéma
numérique
Propriétés
Résultats



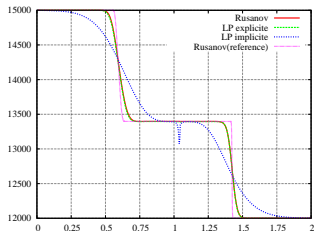
u_1



p_1



u_2



p_2

Test 2 - Statistiques

Stage M2

CEA Saclay

Schéma	Mailles	Itéra°	dt (s)	Calcul (s)
LP semi implicite pour Euler	250	138	0.0000109	7.612
	500	275	0.0000055	11.557
Au niveau continu	1000	550	0.0000027	31.466
Schéma numérique	250	138	0.0000109	24.471
Propriétés	500	276	0.0000055	99.98
Résultats	1000	551	0.0000027	205.078
LP semi implicite pour Baer Nunziato	250	6	0.0002769	4.884
	500	11	0.0001549	9.801
Le modèle	1000	20	0.0000787	49.068
Au niveau continu	5000	94	0.0000165	1752.339
Schéma numérique	10000	184	0.0000083	10322.515
Propriétés				
Résultats				

Test 3 - LP explicite, LP implicite, Rusanov pour $n_x = 500$ mailles à $t = 0.2$ s (1/3) : p_1

Stage M2

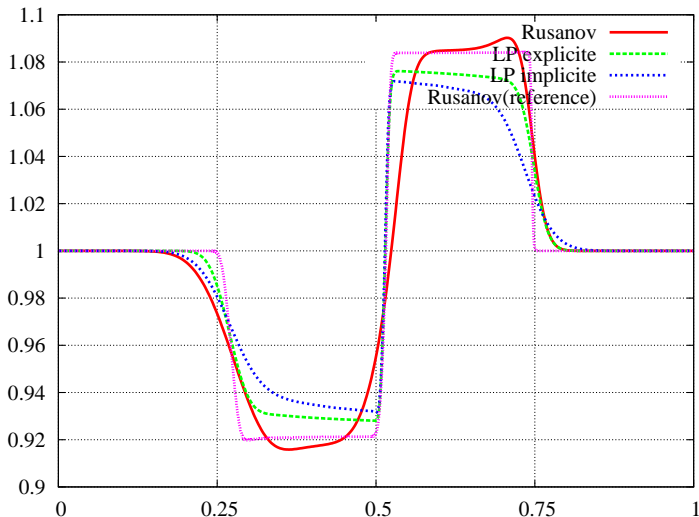
CEA Saclay

LP semi
implicite
pour Euler

Au niveau
continu
Schéma
numérique
Propriétés
Résultats

LP semi
implicite
pour Baer
Nunziato

Le modèle
Au niveau
continu
Schéma
numérique
Propriétés
Résultats



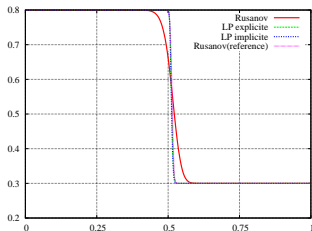
Test 3 - LP explicite, LP implicite, Rusanov pour $n_x = 500$ mailles à $t = 0.2$ s (2/3)

Stage M2

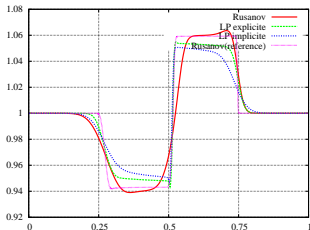
CEA Saclay

LP semi
implicite
pour Euler
Au niveau
continu
Schéma
numérique
Propriétés
Résultats

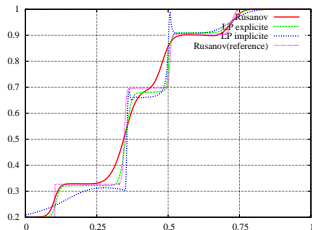
LP semi
implicite
pour Baer
Nunziato
Le modèle
Au niveau
continu
Schéma
numérique
Propriétés
Résultats



α_1



ρ_1



ρ_2

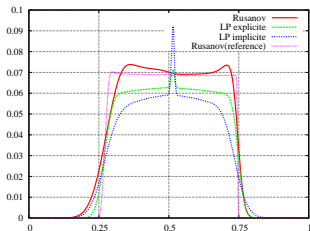
Test 3 - LP explicite, LP implicite, Rusanov pour $n_x = 500$ mailles à $t = 0.2$ s (3/3)

Stage M2

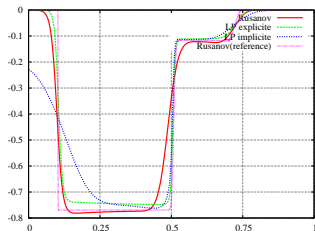
CEA Saclay

LP semi
implicite
pour Euler
Au niveau
continu
Schéma
numérique
Propriétés
Résultats

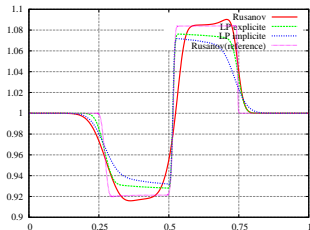
LP semi
implicite
pour Baer
Nunziato
Le modèle
Au niveau
continu
Schéma
numérique
Propriétés
Résultats



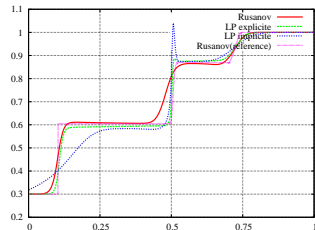
u_1



u_2



p_1



p_2

Test 3 - LP implicite pour différentes tailles de maillages à $t = 0.2$ s (1/3) : p_1

Stage M2

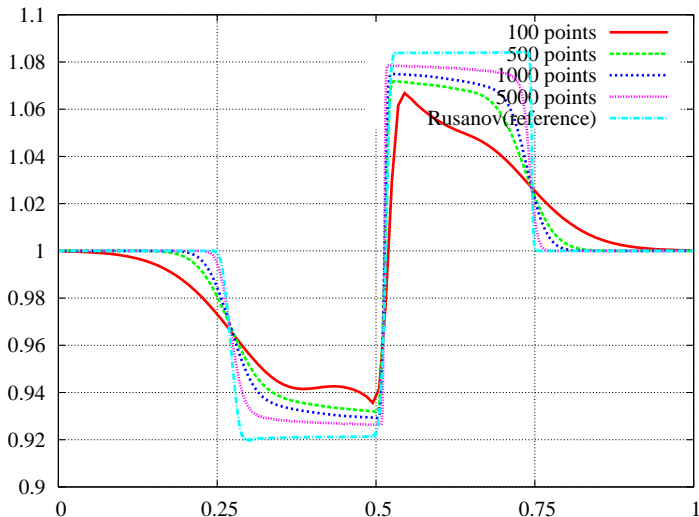
CEA Saclay

LP semi
implicite
pour Euler

Au niveau
continu
Schéma
numérique
Propriétés
Résultats

LP semi
implicite
pour Baer
Nunziato

Le modèle
Au niveau
continu
Schéma
numérique
Propriétés
Résultats



Test 3 - LP implicite pour différentes tailles de maillages à $t = 0.2$ s (2/3)

Stage M2

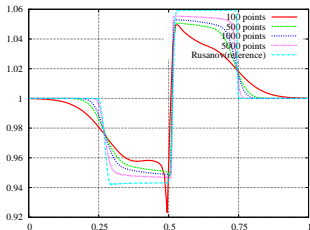
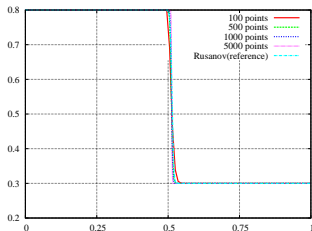
CEA Saclay

LP semi
implicite
pour Euler

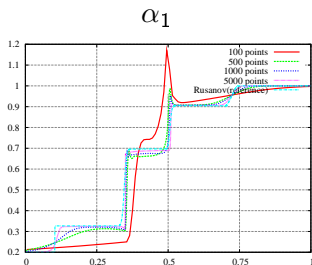
Au niveau
continu
Schéma
numérique
Propriétés
Résultats

LP semi
implicite
pour Baer
Nunziato

Le modèle
Au niveau
continu
Schéma
numérique
Propriétés
Résultats



ρ_1



ρ_2

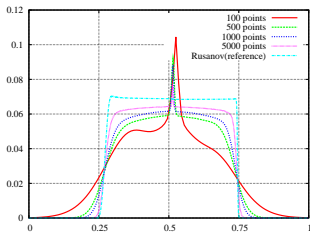
Test 3 - LP implicite pour différentes tailles de maillages à $t = 0.2$ s (3/3)

Stage M2

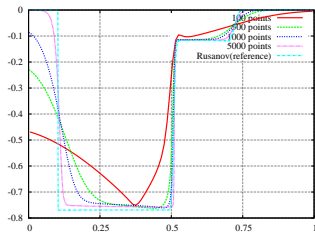
CEA Saclay

LP semi
implicite
pour Euler
Au niveau
continu
Schéma
numérique
Propriétés
Résultats

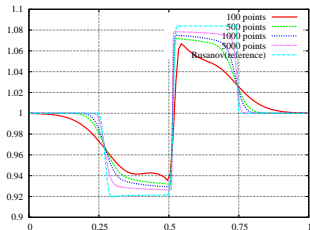
LP semi
implicite
pour Baer
Nunziato
Le modèle
Au niveau
continu
Schéma
numérique
Propriétés
Résultats



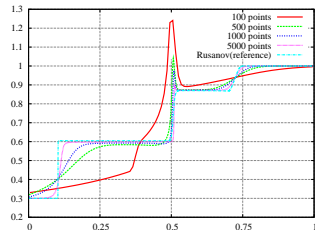
u_1



u_2



p_1



p_2

Test 3 : Statistiques

Stage M2

CEA Saclay

Schéma	Mailles	Itéra°	dt (s)	Calcul (s)
LP semi implicite pour Euler	250	658	0.0003043	22.403
	500	1315	0.0001521	63.121
Au niveau continu	1000	2630	0.0000761	144.602
Schéma numérique	250	659	0.0003043	107.656
Propriétés	500	1317	0.0001521	433.843
Résultats	1000	2631	0.0000761	1156.948
LP semi implicite pour Baer Nunziato	100	14	0.0125722	3.29
	250	37	0.0051841	14.453
Le modèle	500	75	0.0026228	29.975
Au niveau continu	1000	151	0.0013139	118.485
Schéma numérique	5000	758	0.0002639	14192.245
Propriétés				
Résultats				

Conclusion

Cas Euler on a retrouvé les résultats de l'article, et choisi une interprétation du Lagrange Projection qui peut être élargie au cas diphasique,

Stage M2

CEA Saclay

LP semi
implicite
pour Euler

Au niveau
continu

Schéma
numérique

Propriétés

Résultats

LP semi
implicite
pour Baer
Nunziato

Le modèle

Au niveau
continu

Schéma
numérique

Propriétés

Résultats

Conclusion

Stage M2

CEA Saclay

LP semi
implicite
pour Euler

Au niveau
continu
Schéma
numérique
Propriétés
Résultats

LP semi
implicite
pour Baer
Nunziato

Le modèle
Au niveau
continu
Schéma
numérique
Propriétés
Résultats

Cas Euler on a retrouvé les résultats de l'article, et choisi une interprétation du Lagrange Projection qui peut être élargie au cas diphasique,

Cas Baer Nunziato on dispose désormais d'un algorithme :

- semi-implicite à grands pas de temps qui conserve la positivité de la densité,
- conservatif pour les grandeurs souhaitées,
- qui donne des résultats prometteurs.

Conclusion

Stage M2

CEA Saclay

LP semi
implicite
pour Euler

Au niveau
continu
Schéma
numérique
Propriétés
Résultats

LP semi
implicite
pour Baer
Nunziato

Le modèle
Au niveau
continu
Schéma
numérique
Propriétés
Résultats

Cas Euler on a retrouvé les résultats de l'article, et choisi une interprétation du Lagrange Projection qui peut être élargie au cas diphasique,

Cas Baer Nunziato on dispose désormais d'un algorithme :

- semi-implicite à grands pas de temps qui conserve la positivité de la densité,
- conservatif pour les grandeurs souhaitées,
- qui donne des résultats prometteurs.

Ouvertures : passage à des cas tests plus réalistes et pertinents pour le CEA

- conditions aux limites variées,
- positivité de l'énergie interne,
- passage en deux dimensions.

Stage M2

CEA Saclay

LP semi
implicite
pour Euler

Au niveau
continu

Schéma
numérique
Propriétés
Résultats

LP semi
implicite
pour Baer
Nunziato

Le modèle
Au niveau
continu

Schéma
numérique
Propriétés
Résultats

Merci !

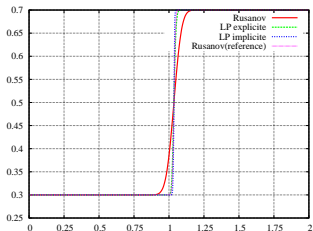
Test 2 - Variables conservatives pour $n_x = 500$ mailles à $t = 0.2$ s (1/2)

Stage M2

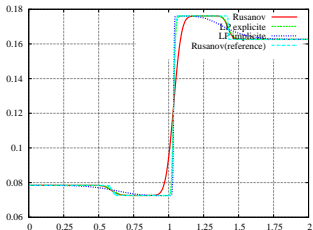
CEA Saclay

LP semi
implicite
pour Euler
Au niveau
continu
Schéma
numérique
Propriétés
Résultats

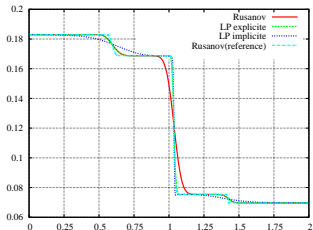
LP semi
implicite
pour Baer
Nunziato
Le modèle
Au niveau
continu
Schéma
numérique
Propriétés
Résultats



α_1



$\alpha_1 \rho_1$



$\alpha_2 \rho_2$

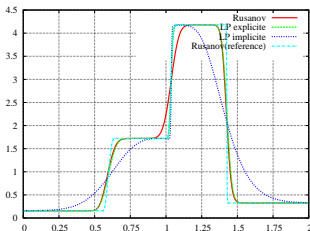
Test 2 - Variables conservatives pour $n_x = 500$ mailles à $t = 0.2$ s (2/2)

Stage M2

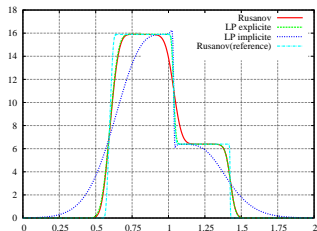
CEA Saclay

LP semi
implicite
pour Euler
Au niveau
continu
Schéma
numérique
Propriétés
Résultats

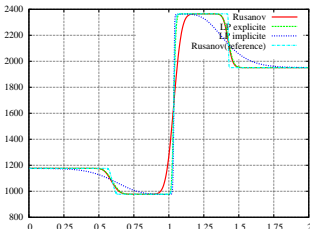
LP semi
implicite
pour Baer
Nunziato
Le modèle
Au niveau
continu
Schéma
numérique
Propriétés
Résultats



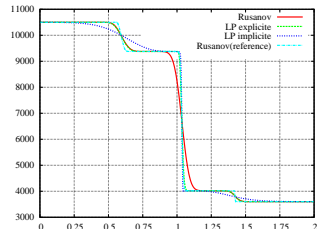
$\alpha_1 \rho_1 u_1$



$\alpha_2 \rho_2 u_2$



$\alpha_1 \rho_1 E_1$



$\alpha_2 \rho_2 E_2$

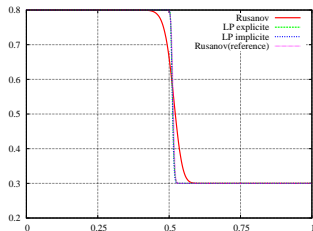
Test 3 - Variables conservatives pour $n_x = 500$ mailles à $t = 0.2$ s (1/2)

Stage M2

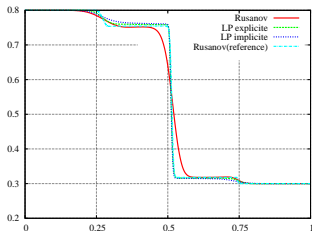
CEA Saclay

LP semi
implicite
pour Euler
Au niveau
continu
Schéma
numérique
Propriétés
Résultats

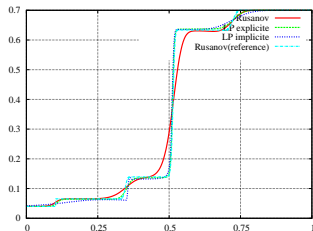
LP semi
implicite
pour Baer
Nunziato
Le modèle
Au niveau
continu
Schéma
numérique
Propriétés
Résultats



α_1



$\alpha_1 \rho_1$



$\alpha_2 \rho_2$

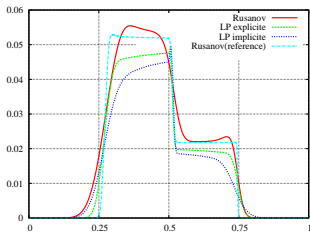
Test 3 - Variables conservatives pour $n_x = 500$ mailles à $t = 0.2$ s (2/2)

Stage M2

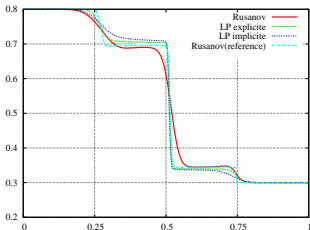
CEA Saclay

LP semi
implicite
pour Euler
Au niveau
continu
Schéma
numérique
Propriétés
Résultats

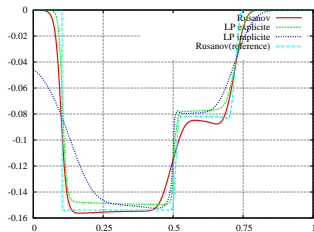
LP semi
implicite
pour Baer
Nunziato
Le modèle
Au niveau
continu
Schéma
numérique
Propriétés
Résultats



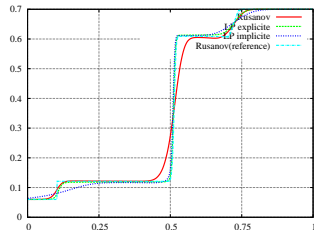
$\alpha_1 \rho_1 u_1$



$\alpha_1 \rho_1 E_1$



$\alpha_2 \rho_2 u_2$



$\alpha_2 \rho_2 E_2$